

# 声学形变势表面极化子的温度效应\*

赵翠兰 肖景林

(内蒙古民族大学物理系, 内蒙古自治区, 通辽, 028043)

**摘要** 采用线性组合算符方法, 研究与表面光学声子耦合强、与表面声学声子耦合弱的声学形变势表面极化子的温度效应。对K1晶体的数值计算结果表明: 振动频率、有效质量随温度的升高而减少, 而诱导势随温度的升高而增大。

**关键词** 表面极化子, 声学形变势, 温度效应。

## TEMPERATURE DEPENDENCE OF THE ACOUSTIC DEFORMATION POTENTIAL SURFACE POLARON\*

ZHAO Cui-Lan XIAO Jing-Lin

(Department of Physics, Inner Mongolia National University, Tongliao,  
Inner Mongolia Autonomous Region 028043, China)

**Abstract** The temperature characteristic of the acoustic deformation potential surface polaron in polar crystal, which has a weak coupling with surface phonons and a strong coupling with surface optical phonons was studied by using linear-combination-operator method. Numerical calculation for K1 crystal as an example, illustrated that the vibration frequency  $\lambda$  and effective mass  $m_z^*$  of the acoustic deformation potential surface polaron decrease with increasing temperature, but the induced potential  $V_s^*$  of the acoustic deformation potential surface polaron will increase with increasing temperature.

**Key words** surface polaron, acoustic deformation potential, temperature dependence.

### 引言

对于极性晶体、极性半导体中表面极化子的性质, 人们进行了大量的研究工作。在这些工作中, 声子对电子性质的影响是一个重要课题, 已引起人们的广泛关注。Sak<sup>[1]</sup>和Evans<sup>[2]</sup>对极性晶体的表面极化子作了理论研究, 并研究了体纵光学声子对表面极化子的影响。顾世清<sup>[3,4]</sup>等人对半无限晶体中弱、中耦合以及强耦合进行了详尽讨论。本文作者<sup>[5,6]</sup>曾研究了极性晶体、极性半导体中形变势的表面极化子、表面磁极化子的性质。但这些工作均是在低温(零度)下讨论的。事实上, 有限温度的情形更有意义。

一些关于极化子质量温度效应的研究表明, 由于采用不同的电子-声子相互作用机制的假设和不同的理论方法, 将提供两种完全相反的结论。Saiton<sup>[7]</sup>用费曼路径积分得出极化子质量随温度升

高而减少, 但是顾世清<sup>[8]</sup>却得到相反的结果。目前, 实验上已证明这两种情况都是存在的。

由于固体中声学振动的近似线性的色散关系, 使它与光学振动相比, 有许多独特的性质。电子和表面声子的相互作用, 对了解晶体中低能电子的非弹性散射是极为重要的。在不少的极性晶体中, 电子与SO声子耦合强, 而与SA声子耦合弱, 到目前为止, 对这种形变势极化子性质的研究还仅限于零度的情形。本文采用线性组合算符方法, 研究与SO声子耦合强、与SA声子耦合弱的声学形变势表面极化子的温度效应。

### 1 哈密顿量

设晶体表面位于  $x-y$  平面内, 表面法线沿  $z$  轴, 在  $z > 0$  的半无限空间里充满着极性晶体。晶体内的电子在表面附近运动(距表面  $z > 0$ )。电子-声子系

\* 内蒙古自然科学基金(编号 99009)资助项目  
稿件收到日期 2000-09-11, 修改稿收到日期 2000-11-14

\* The project supported by the Natural Science Foundation of Inner Mongolia Autonomous Region of China(No. 99009)  
Received 2000-09-11, revised 2000-11-14

的哈密顿量可以写成

$$H = \frac{P_z^2}{2m} + \frac{P_{\perp}^2}{2m} + \frac{e^2(\epsilon_c - 1)}{4z\epsilon_c(\epsilon_c + 1)} + \sum_{\mathbf{q}} \hbar \omega_{\mathbf{q}} a_{\mathbf{q}}^{\dagger} a_{\mathbf{q}} + \sum_{\mathbf{q}} \hbar \omega_{\mathbf{q}} b_{\mathbf{q}}^{\dagger} b_{\mathbf{q}} + \sum_{\mathbf{q}} e^{-\alpha_{\mathbf{q}}} (V_{\mathbf{q}}^{\dagger} a_{\mathbf{q}}^{\dagger} + e^{-i\mathbf{q}\cdot\mathbf{r}} + \hbar \cdot c) + \sum_{\mathbf{q}} \Gamma e^{-\gamma_{\mathbf{q}}} (b_{\mathbf{q}}^{\dagger} e^{-i\mathbf{q}\cdot\mathbf{r}} + \hbar \cdot c). \quad (1)$$

式中各量的物理意义与文献[5]相同. 将哈密顿量分为两部分, 即

$$H = H_{\parallel} + H_{\perp}, \quad (2a)$$

其中

$$H_{\perp} = \frac{P_{\perp}^2}{2m} + \frac{e^2(\epsilon_c - 1)}{4z\epsilon_c(\epsilon_c + 1)}, \quad (2b)$$

其余部分为  $H_{\parallel}$ . 设电子在  $z$  方向的运动是缓慢的, 于是确定电子在  $x$ - $y$  平面内的运动时可将  $z$  方向的动量、坐标视为参量. 对  $x$ - $y$  平面内的运动引进两次么正变换

$$U_1 = \exp[-i(\sum_{\mathbf{q}} A_1 a_{\mathbf{q}}^{\dagger} a_{\mathbf{q}} + \sum_{\mathbf{q}} A_2 b_{\mathbf{q}}^{\dagger} b_{\mathbf{q}})] \hat{p}, \\ U_2 = \exp[\sum_{\mathbf{q}} (a_{\mathbf{q}}^{\dagger} f_{\mathbf{q}} - a_{\mathbf{q}} f_{\mathbf{q}}) + \sum_{\mathbf{q}} (b_{\mathbf{q}}^{\dagger} g_{\mathbf{q}} - b_{\mathbf{q}} g_{\mathbf{q}})]. \quad (3)$$

其中  $A_i (i=1, 2)$  是表征耦合强度的参量,  $A_i=1$  对应于弱耦合,  $A_i=0$  对应于强耦合, 本文讨论  $A_1=0$ ,  $A_2=1$  的情形.  $f_{\mathbf{q}}(f_{\mathbf{q}}^{\dagger})$ ,  $g_{\mathbf{q}}(g_{\mathbf{q}}^{\dagger})$  为变分参量. 对电子横向运动的动量和坐标引进线性组合算符

$$P_{\parallel i} = \left(\frac{m\hbar\lambda}{2}\right)^{\frac{1}{2}} (B_i + B_i^{\dagger} + P_{0i}), \\ \rho_i = i\left(\frac{\hbar}{2m\lambda}\right)^{\frac{1}{2}} (B_i - B_i^{\dagger}), \quad (j=x, y) \quad (4)$$

其中  $\lambda$  和  $P_{0i}$  是变分量. 由于系统的总动量

$$\hat{P}_{\parallel T} = \hat{P}_{\parallel} + \sum_{\mathbf{q}} \hbar \omega_{\mathbf{q}} a_{\mathbf{q}}^{\dagger} a_{\mathbf{q}} + \sum_{\mathbf{q}} \hbar \omega_{\mathbf{q}} b_{\mathbf{q}}^{\dagger} b_{\mathbf{q}} \quad (5)$$

与哈密顿量对易, 所以其本征值为守恒量. 下面对  $H = H_{\parallel} - \vec{u} \cdot \hat{P}_{\parallel T}$  作两次么正变换:

$$H = U_2^{-1} U_1^{-1} (H_{\parallel} - \vec{u} \cdot \hat{P}_{\parallel T}) U_1 U_2, \quad (6)$$

在有限温度下, 选尝试波函数为

$$|\varphi\rangle = |\varphi(z)\rangle | \{n_j\} \rangle | \{n_a\} \rangle | \{n_b\} \rangle. \quad (7)$$

其中  $|\varphi(z)\rangle$  是描写电子  $z$  方向的波函数,  $\{n_j\}$  表示极化子数,  $\{n_a\}$  表示  $SO$  声子数,  $\{n_b\}$  表示  $SA$  声子数. 式(6)对  $|\varphi\rangle$  的期待值为

$$\langle \varphi | H | \varphi \rangle = \langle \varphi(z) | F(\lambda, f_{\mathbf{q}}, g_{\mathbf{q}}, u, P_0) | \varphi(z) \rangle. \quad (8)$$

在计算过程中, 我们利用了电子在空间运动的对称性. 设  $n_x = n_y = n$ , 忽略波矢的高阶小量和双声子过程.  $F$  对  $f_{\mathbf{q}}, g_{\mathbf{q}}$  和  $P_0$  变分可得

$$F(\lambda, u) = (n + \frac{1}{2}\hbar\lambda + \sum_{\mathbf{q}} (\frac{\hbar^2 Q^2}{2m} + \hbar\omega_{\mathbf{q}}) n_b + \sum_{\mathbf{q}} \hbar\omega_{\mathbf{q}} n_a - a'_{\perp} \frac{\hbar^2}{4m} f_1(z) - a_{\perp} \hbar \omega_{\perp} (\frac{\lambda}{\omega_{\perp}})^{\frac{1}{2}} \int_0^{\infty} dx e^{-2u_x x^2 - x^2} (1 - 2nx^2) - \frac{1}{2} mu^2 [\frac{1}{1 - a'_{\perp} f_2(z)} + 2a_{\perp} (\frac{\lambda}{\omega_{\perp}})^{\frac{1}{2}} \int_0^{\infty} dx \times (1 - 2nx^2) x^2 e^{-2u_x x^2 - x^2}]. \quad (9)$$

其中

$$a'_{\perp} = \alpha_{\perp} \frac{8mV_R}{3\hbar u_{\perp}}, Q_0 = \frac{mV_R}{\hbar}, \quad (10a)$$

$$\alpha_{\perp} = E_0^2 (1 - \gamma^2)^2 \frac{3mu_{\perp}}{4\pi k \rho_0 V_R \hbar^2}, \quad (10b)$$

$$f_1(z) = \int_0^{Q_0} dQ \frac{Q^2 e^{-2Qz}}{(Q + 2Q_0)}, \quad (10c)$$

$$f_2(z) = \int_0^{Q_0} dQ \frac{Q^2 e^{-2Qz}}{(Q + 2Q_0)}. \quad (10d)$$

对于平移速度慢的电子, 将含  $u^2$  的项忽略,  $F$  对  $\lambda$  变分得

$$\sqrt{\lambda} = \alpha_{\perp} \sqrt{\omega_{\perp}} \int_0^{\infty} dx \frac{1 - 2nx^2}{2n + 1} \times (1 - 2u_x x^2) e^{-2u_x x^2 - x^2}. \quad (11)$$

不难看出声学形变势表面极化子动量的平均值为

$$\bar{P} = \langle \{n_b\} | \langle \{n_a\} | \langle \{n_j\} | U_2^{-1} U_1^{-1} P_{\parallel} U_1 U_2 | \{n_j\} \rangle | \{n_a\} \rangle | \{n_b\} \rangle \\ = mu [\frac{1}{1 - a'_{\perp} f_2(z)} + 2a_{\perp} (\frac{\lambda}{\omega_{\perp}})^{\frac{1}{2}} \int_0^{\infty} dx \times (1 - 2nx^2) x^2 e^{-2u_x x^2 - x^2}]. \quad (12)$$

可见,  $u$  就是声学形变势表面极化子在  $x$ - $y$  平面内的平均速度, 而声学形变势表面极化子的有效质量为

$$m^* = m \frac{1}{1 - a'_{\perp} f_2(z)} + 2a_{\perp} (\frac{\lambda}{\omega_{\perp}})^{\frac{1}{2}} \int_0^{\infty} dx e^{-2u_x x^2 - x^2} \times (1 - 2nx^2) x^2 \\ = m_1^* + m_2^*. \quad (13a)$$

其中

$$m_1^* = \frac{m}{1 - a'_{\perp} f_2(z)}, \quad (13b)$$

其余为  $m_2^*$ . 最后得声学形变势表面极化子的有效哈密顿为

$$H_{eff} = \frac{P_z^2}{2m} + \frac{P_x^2}{2m^*} + \frac{e^2(\epsilon_\infty - 1)}{4\pi\epsilon_0(\epsilon_\infty + 1)} + (n + \frac{1}{2})\hbar\lambda + \sum_Q (\frac{\hbar^2 Q^2}{2m} + \hbar\omega_Q)n_Q + \sum_Q \hbar\omega_Q n_Q - \frac{a'\hbar}{4m} f_1(z) - a\hbar\omega_s (\frac{\lambda}{\omega_s})^{\frac{1}{2}} \int_0^\infty dx (1 - 2nx^2)e^{-2ax^2 - x^2} \quad (14)$$

2 极化子的温度效应

在有限温度下,电子-声子系不再完全处于基态,晶格振动不但激发实声子,同时也使电子受到激发.极化子的性质是电子-声子系对各种状态的统计平均,根据量子统计学

$$\begin{aligned} \bar{n} &= [\exp(\frac{\hbar\lambda}{k_B T}) - 1]^{-1}, \\ \bar{n}_s &= [\exp(\frac{\hbar\omega_s}{k_B T}) - 1]^{-1}, \\ \bar{n}_Q &= [\exp(\frac{\hbar\omega_Q}{k_B T}) - 1]^{-1}. \end{aligned} \quad (15)$$

其中  $k_B$  是玻尔兹曼常数.由式(11)看出,  $\lambda$  不仅与  $n$  有关,而且与坐标  $z$  有关,还必须与式(15)自恰.将式(15)代入式(11)可得到  $\lambda$  对  $z$  和  $T$  的关系.而声学形变势表面极化子的有效哈密顿量为

$$H_{eff} = \frac{P_z^2}{2m} + \frac{P_x^2}{2m^*} + (n + \frac{1}{2})\hbar\lambda + \sum_Q (\hbar\omega_Q)n_Q + \sum_Q (\frac{\hbar^2 Q^2}{2m} + \hbar\omega_Q)n_Q + V_{img} + V_i^s + V_i^h \quad (16a)$$

其中

$$V_{img} = \frac{e^2(\epsilon_\infty - 1)}{4\pi\epsilon_0(\epsilon_\infty + 1)}, \quad (16b)$$

$$V_i^h = -\frac{a'\hbar}{4m} f_1(z), \quad (16c)$$

$$V_i^s = -a\hbar\omega_s (\frac{\lambda}{\omega_s})^{\frac{1}{2}} \int_0^\infty dx (1 - 2nx^2)e^{-2ax^2 - x^2} \quad (16d)$$

分别是像势、电子-SA 声子相互作用所产生的诱生势和电子-SO 声子相互作用所产生的诱生势.

3 结果和讨论

由式(13)可知,只有  $m_i^s$  与温度有关,所以,在讨论  $m^*$  与  $T$  的依赖关系时,只须讨论  $m_i^s$  随  $T$  的变化规律.同样,有效势的温度效应取决于  $V_i^s$  与  $T$  的关系.为了清楚地看出表面极化子的温度效应,我们以极性晶体 KI 为例进行了数值计算, KI 晶体有关参数如表 1<sup>[9]</sup>.

表 1 KI 晶体的参数和耦合常数  
Table 1 Parameters and coupling constants of KI crystal

$\epsilon_\infty$	$\epsilon_\infty$	$\hbar\omega_s(\text{meV})$	$a_c$
4.68	2.68	18.0	3.10

图 1~3 分别表示 KI 晶体的声学形变势表面极化子的振动频率、有效质量  $m_i^s$ 、诱生势  $V_i^s$  在不同的温度下和坐标  $z$  的关系曲线,其中实线表示  $T=$

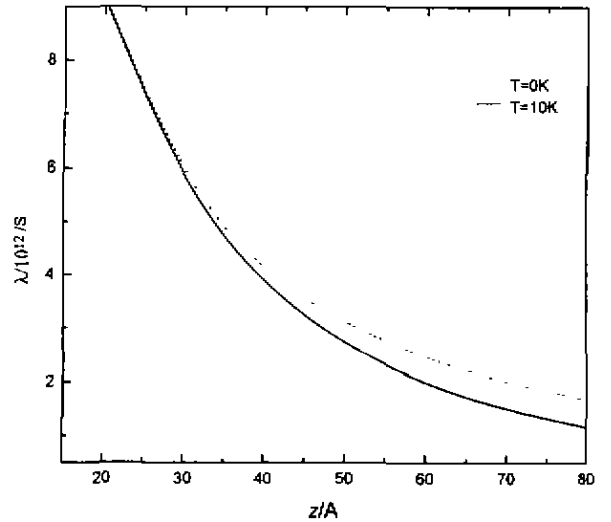


图 1 不同的温度下  $\lambda$  对  $z$  的关系曲线  
Fig. 1  $\lambda$  as a function of  $z$  at different temperature

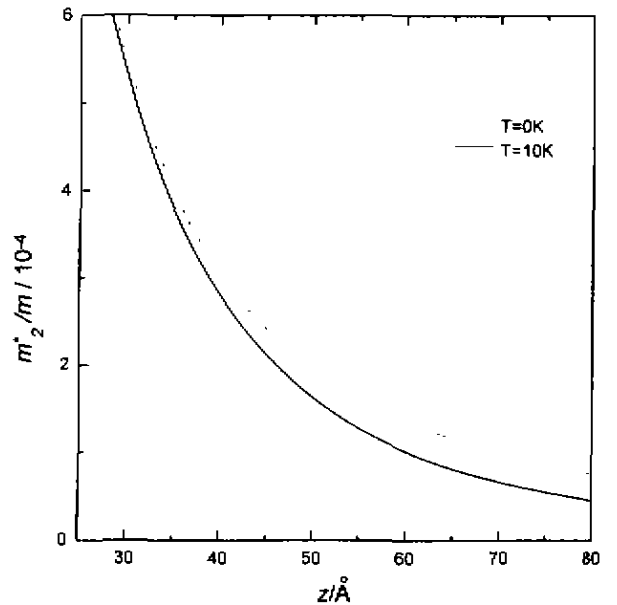


图 2 不同温度下  $m_i^s/m$  对  $z$  的关系曲线  
Fig. 2  $m_i^s/m$  as a function of  $z$  at different temperature

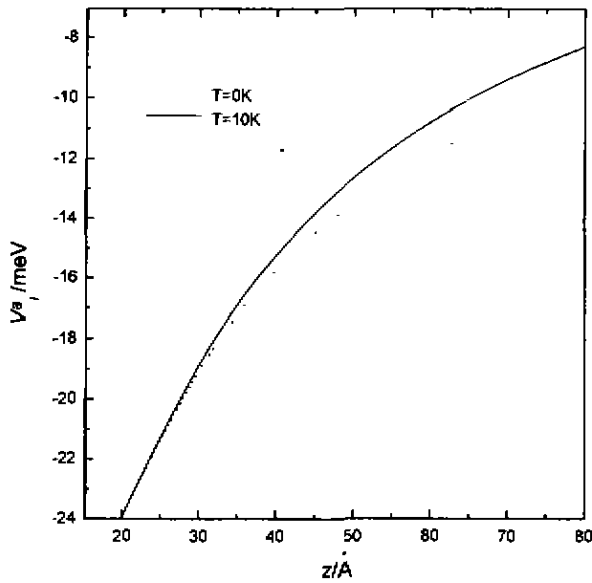


图3 不同温度下  $V_s^*$  对  $z$  的关系曲线

Fig. 3  $V_s^*$  as a function of  $z$  at different temperature

10K, 虚线表示  $T=0K$ . 由图1看到, 振动频率  $\lambda$  随坐标  $z$  ( $T$  给定时) 的增大而减小, 随温度  $T$  ( $z$  给定时) 的升高而降低, 且温度愈高, 降低的愈多. 由图2看出, 有效质量  $m_2^*$  随坐标  $z$  (或温度  $T$ ) 的增大而减小, 且温度  $T$  ( $z$  给定时) 愈高,  $m_2^*$  下降的愈多. 这一结果与 Saiton 的结果相同. 而由图3看出, 诱生势  $V_s^*$  随坐标  $z$  (或温度  $T$ ) 的增大而增加, 说明离晶体表面愈远 (或温度愈高), 声学形变势表面极化子的势阱愈浅.

## REFERENCES

- [1] Sak J. Theory of surface polarons, *Phys. Rev. B*, 1972, **6**: 3981—3986
- [2] Evans E, Mills D L. Interaction of slow electrons with the surface of a model dielectric: theory of surface polarons, *Phys. Rev. B*, 1973, **8**: 4004—4018
- [3] Liang X X, Gu S W. The polarons and their dead layers in semi-infinite polar crystals, *Solid State Commun.*, 1984, **50**: 505—508
- [4] Gu S W, Zhang J. Note on strong coupling polarons in a semi-infinite ionic crystal, *Phys. Stat. Sol.*, 1984, **121**: k165—170
- [5] ZHAO Cui-Lan, WANG Zi-An, XIAO Jing-Lin. Surface polaron of interaction with the deformation potential in polar crystals, *Chinese Journal of Luminescence* (赵翠兰, 王小安, 肖景林. 极性晶体中与形变势相互作用的表面极化子, *光学学报*), 1998, **19**(1): 1—7
- [6] ZHAO Cui-Lan, DING Zhao-Hua, XIAO Jing-Lin. Properties of the surface magnetopolaron potential in polar semiconductors, *Journal of Optoelectronics and Laser* (赵翠兰, 丁朝华, 肖景林. 极性半导体中经由形变势的表面磁极化子的性质, *光电子学报*), 1999, **10**(1): 78—82
- [7] Saiton M. Theory of a polaron at finite temperatures, *J. Phys. Soc. Jpn.*, 1980, **49**: 878—886
- [8] Gu S W. The temperature dependence of the polaron effective mass, *Chin. Phys.*, 1981, **1**: 84
- [9] Kartheuser E. *Dielectric Properties of Polar Crystals. Polarons in Ionic Crystals and Polar Semiconductors*. Antwerp Advanced Study Institute 1871 on Frohlich Polarons and Electron-Phonon Interaction in Polar Semiconductors, New York: North-Holland, 1972: 721